

## PROIECTAREA ȘI IMPLEMENTAREA CODECULUI CODULUI MATROID

*D. Bodean, G. Bodean*

*Universitatea Tehnică a Moldovei*

### INTRODUCERE

În [1] au fost prezentate aspectele teoretice ale codurilor matroide – o clasă nouă de coduri nonbinare corectoare de erori. *Obiectivul* acestei lucrări sunt procedurile de codare și decodare asincronă (instantanee) a codului matroid. *Scopul lucrării* constă în proiectarea coderului-decoderului (codecului) codului matroid cu parametrii  $(n,k,t)=(8,4,2)$  asupra câmpului Galois  $\mathbf{GF}$  de ordinul  $2^4$ , unde  $n$  – lungimea cuvintelor de cod,  $k$  – numărul simbolurilor în combinația de intrare,  $t$  – capacitatea corectoare de erori. *Sarcinile lucrării*: 1) de generat matricea matroidului respectiv; 2) de elaborat algoritmul de decodare a codului matroid; 4) de elaborat entitatea de generare a multiplicatorului la constantă asupra câmpului Galois; 5) de elaborat proiectele entităților coderului și decoderului codului matroid; 6) de implementat proiectul codecului elaborat; 7) de estimat câștigul de la codarea matroidă în canalele binare cu modulația în fază.

### 1. CODAREA

Pentru generarea codului matroid (sau M-codul) se folosește matricea care urmează structura matroidului uniform [2]. Matroidul uniform  $U_{k,n}$  poate fi prezentat printr-o matrice de forma  $\mathbf{G}_{k \times n}=[g_{ij}]_{k \times n}$ , unde  $g_{ij} \in \mathbf{GF}(2^m)$ . În această interpretare vectorii M-codului vor fi generați prin aplicarea operației matriceale:

$$\mathbf{v} = \langle v_1, \dots, v_n \rangle = \mathbf{x} \cdot \mathbf{G}, \quad (1)$$

unde  $\mathbf{x} = \langle x_1, \dots, x_n \rangle$  este vectorul original,  $x \in \mathbf{GF}(2^m)$ .

Fie M-codul cu parametrii  $(n, k, t) = (8, 4, 2)$  asupra  $\mathbf{GF}(2^4)$  cu polinomul  $p(x) = x^4 + x + 1$ . Asupra  $\mathbf{GF}(2^4) = \{0, 1, \dots, 15\}$  cu ajutorul instrumentarului, prezentat în [3], a fost generată matricea matroidului de structura standard:

$$\mathbf{G} = \begin{bmatrix} 1 & 0 & 0 & 0 & 1 & 2 & 4 & 8 \\ 0 & 1 & 0 & 0 & 1 & 4 & 3 & 12 \\ 0 & 0 & 1 & 0 & 1 & 8 & 12 & 10 \\ 0 & 0 & 0 & 1 & 1 & 3 & 5 & 15 \end{bmatrix}.$$

Un exemplu de codare: pentru vectorul de intrare  $\mathbf{x} = \langle 1, 2, 3, 4 \rangle$  se obține următorul vector de ieșire:  $\mathbf{v} = \langle v_1, v_2, \dots, v_8 \rangle = \mathbf{x} \cdot \mathbf{G} = \langle 1, 2, 3, 4, 4, 1, 2, 7 \rangle$ .

Deci, M-coderul trebuie să implementeze transformarea matriceală (1), care reprezintă un sistem de ecuații liniare:

$$\begin{cases} x_1 = v_1, \\ x_2 = v_2, \\ x_3 = v_3, \\ x_4 = v_4, \\ x_1 + x_2 + x_3 + x_4 = v_5, \\ 2x_1 + 4x_2 + 8x_3 + 3x_4 = v_6, \\ 4x_1 + 3x_2 + 12x_3 + 5x_4 = v_6, \\ 8x_1 + 12x_2 + 10x_3 + 15x_4 = v_6, \end{cases} \quad (2)$$

unde suma și înmulțirea se execută modulo  $p(x)$ .

Modul de implementare a RTL-entității coderului este determinat de instrumentarul de proiectare asistată de calculator, în special, cel de proiectare pe circuite programabile. Pentru a fi independenți de platforma utilizată vom codifica structura coderului în limbajul VHDL. Entitatea coderului M-codului  $(8,4,2)$  este următoarea:

**ENTITY Coder IS**

**PORT**

( InWord : IN bit\_vector(0 to 15);  
OutWord : OUT bit\_vector(0 to 31)  
);

**END Coder;**

**ARCHITECTURE aCoder OF Coder IS**

**BEGIN**

c0: MultMatrix

**GENERIC MAP**(

Matr => CoderMatr,  
Rows => WordSize,  
Columns => CodeSize,  
SymSize => Degree

)

**PORT MAP**( Word => InWord,  
CodeWord => OutWord);

**END aCoder.**

Pentru generarea coderului se folosește o entitate (componentă) universală, *MultMatrix*, care va fi utilizată și pentru generarea structurii decoderului M-codului.

## 2. DECODAREA

### 1.1. Detectarea și localizarea erorilor

Decoderul M-codului trebuie să efectueze următoarele operații: *detectarea* erorii, *localizarea* erorii, *corectarea* erorii și “*restabilirea*” mesajului (vectorului original) transmis. În lucrarea [1] a fost prezentat un algoritm de decodare a codului matroid bazat pe *principiul logicei majoritare* (de prag). Decodarea se execută asincron, într-un singur tact și permite detectarea, localizarea și corectarea integrată a erorilor  $t$ -uple în combinația de cod recepționată. M-codul analizat are capacitatea (abilitatea) corectoare  $t$  egală cu 2. Într-un cuvânt de cod de lungimea  $n = 8$  pot fi 8 erori singulare și  $C_8^2 = 28$  erori duble.

Detectarea erorii se efectuează cu ajutorul matricei de control. Conform definiției [4] matricea de control  $\mathbf{H}$  trebuie să satisfacă egalitatea:

$$\mathbf{G} \cdot \mathbf{H}_{(c)}^T = 0, \quad (3)$$

iar sindromul  $\mathbf{S}$  este calculat din relația:

$$\mathbf{H}_{(c)} \cdot \mathbf{v}^T = \mathbf{S}^{(c)}. \quad (4)$$

Dacă  $\mathbf{S} = 0$  se presupune că vectorul analizat nu conține erori admisibile (detectabile sau corectabile).

În relațiile (3) și (4) una din dimensiunile matricei  $\mathbf{H}$  nu-i cunoscută. Conform *decodării logicei majoritare* capacitatea detectoare a matricei de control nu poate depăși redondanța codului, adică valoarea determinată de diferența  $n - k$ . În cazul analizat avem  $n - k = 8 - 4 = 4$ . Deci, dimensiunile matricei de control vor fi  $8 \times 4$ , iar structura ei va fi de tip standard și anume:

$$\mathbf{H}_{(1)} = \begin{bmatrix} \mathbf{I}_{4 \times 4} \\ \mathbf{Q}_{4 \times 4} \end{bmatrix} \quad (5)$$

unde  $\mathbf{I}$  este matricea unitate, iar  $\mathbf{Q}$  se va determina din relația (3).

Însă având structura (3) sindromul  $\mathbf{S}$  va conține numai  $n - k = 4$  elemente, ceea ce nu acoperă toată lungimea  $n$  a vectorului  $\mathbf{v}$ . De aceea trebuie de elaborat un algoritm optimal de acoperire a ansamblului de erori duble în cuvântul de cod.

În [1] a fost propusă și analizată, pentru un caz particular, o metodă de “testare” prin deplasarea secvențială a matricei-unitate  $\mathbf{I}$  în spațiul matricei de control (5). Vom extinde metoda pentru M-codul analizat. Conform metodei logicei de prag, aplicată pentru M-decodare și exprimată de relația (4), avem următorul criteriu.

**Regula 1:** pentru a corecta (până la)  $t$  erori este necesar ca sindromul  $\mathbf{S}$  să conțină *nu mai mult* de  $t$  simboluri semnificative (nonzero).

Pe de altă parte sindromul  $\mathbf{S}$  va localiza erorile în pozițiile vectorului recepționat  $\mathbf{v}$ , indicii componentelor căruia coincid cu indicii liniei matricei-unitate din (5). Astfel, matricea de control cu structura (5) va acoperi numai (și numai) erorile din prima jumătate a vectorului  $\mathbf{v}$ , adică erorile în componentele  $v_1, \dots, v_4$ . Numărul erorilor duble detectate este egal cu  $C_4^2 = 6$ .

Dacă “deplasăm”, efectuăm o permutare a matricelor în (5), se obține matricea de control (a doua) cu structura:

$$\mathbf{H}_{(2)} = \begin{bmatrix} \mathbf{Q}' \\ \mathbf{I} \end{bmatrix}. \quad (6)$$

Matricea (6) va “acoperi” erorile din a doua jumătate a vectorului  $\mathbf{v}$ , adică erorile asupra simbolurilor  $v_5, \dots, v_8$ . Numărul erorilor duble va fi egal cu  $C_4^2 = 6$ .

În total avem:  $C_4^2 + C_4^2 = 12$  erori duble detectate. Celelalte erori duble ramase, adică  $C_8^4 - 2C_4^2 = 16$  vor fi detectate cu încă 4 matrice de control în care matricea-unitate este *distribuită* (dispersată). Aceste matrice de control au următoarele structuri:

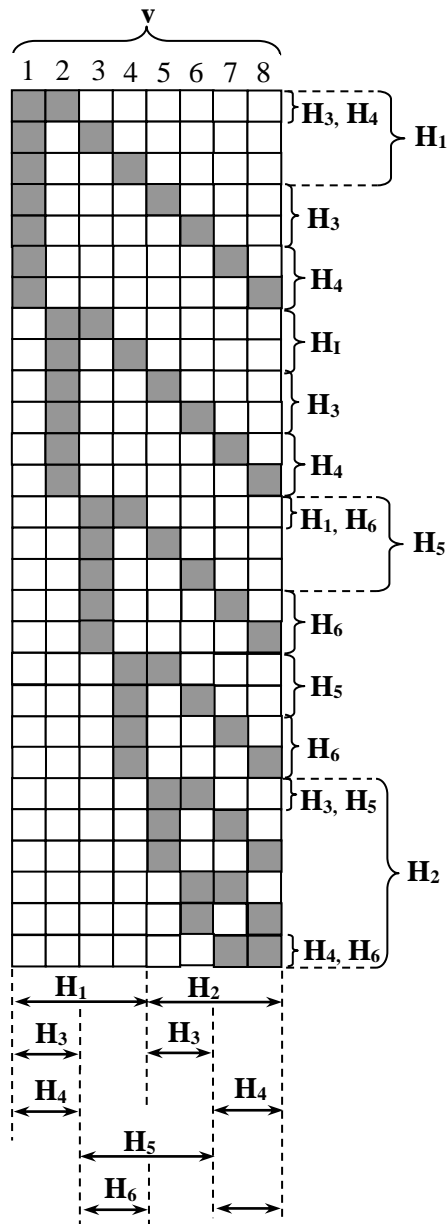
$$\mathbf{H}_{(3)} = \begin{bmatrix} 1 & 0 & q_{11} & q_{12} & 0 & 0 & q_{13} & q_{14} \\ 0 & 1 & q_{21} & q_{22} & 0 & 0 & q_{23} & q_{24} \\ 0 & 0 & q_{31} & q_{32} & 1 & 0 & q_{33} & q_{34} \\ 0 & 0 & q_{41} & q_{42} & 0 & 1 & q_{43} & q_{44} \end{bmatrix},$$

$$\mathbf{H}_{(4)} = \begin{bmatrix} 1 & 0 & q_{11} & q_{12} & q_{13} & q_{14} & 0 & 0 \\ 0 & 1 & q_{21} & q_{22} & q_{23} & q_{24} & 0 & 0 \\ 0 & 0 & q_{31} & q_{32} & q_{33} & q_{34} & 1 & 0 \\ 0 & 0 & q_{41} & q_{42} & q_{43} & q_{44} & 0 & 1 \end{bmatrix},$$

$$\mathbf{H}_{(5)} = \begin{bmatrix} q_{11} & q_{12} & 1 & 0 & 0 & 0 & q_{13} & q_{14} \\ q_{21} & q_{22} & 0 & 1 & 0 & 0 & q_{23} & q_{24} \\ q_{31} & q_{32} & 0 & 0 & 1 & 0 & q_{33} & q_{34} \\ q_{41} & q_{42} & 0 & 0 & 0 & 1 & q_{43} & q_{44} \end{bmatrix},$$

$$\mathbf{H}_{(6)} = \begin{bmatrix} q_{11} & q_{12} & 1 & 0 & q_{13} & q_{14} & 0 & 0 \\ q_{21} & q_{22} & 0 & 1 & q_{23} & q_{24} & 0 & 0 \\ q_{31} & q_{32} & 0 & 0 & q_{33} & q_{34} & 1 & 0 \\ q_{41} & q_{42} & 0 & 0 & q_{43} & q_{44} & 0 & 1 \end{bmatrix}.$$

În figura 1 sunt prezentate convențional combinațiile de erori duble într-un cuvânt de cod și graficul acoperii acestor erori de matricele de control  $\mathbf{H}_{(1)}, \dots, \mathbf{H}_{(6)}$ . Precum se observă din grafic unele erori sunt detectate de câteva matrice de control.



□ - simbol corect; ■ - poziție eronată.

Fig. 1. Diagrama acoperirii erorilor duble de matricele de control  $H_{(i)}$

În acest mod, pentru *detectarea* și *localizarea* erorii duble, (ca urmare, și a erori singulare) se vor executa următorii pași:

- la început, pentru o matrice arbitrară de control se va calcula sindromul  $S$  conform (4);
- dacă  $S \neq 0$  și numărul de simboluri nonzero  $\leq t$ , atunci secvențial sunt calculate sindroamele  $S^{(i)}$ , unde  $S^{(i)} = H_{(i)} \cdot v^T$ ,  $i \in \{1, \dots, 6\}$ , până când nu va fi satisfăcută Regula 1 (ori  $i \notin \{1, \dots, 6\}$ ).

După ce eroarea a fost localizată se trece la *corectarea* ei. Corectarea erorii  $t$ -uple se realizează în mod standard, prin adunarea modulo 2 (XOR), bit-cu-bit a componentelor sindromului-corector,

$S^{(i)}$  cu respectivele componente ale vectorului recepționat  $v'$ . Astfel, va fi obținut vectorul transmis  $v$ , componentele căruia  $v_1, \dots, v_8$  sunt coeficienții liberi ai sistemului de ecuații liniare (2).

## 1.2. Restabilirea mesajului

Prin *restabilirea* mesajului sursei se înțelege rezolvarea unui subsistem de  $k$  ecuații ai sistemului (2) față de componentele necunoscute  $x_1, \dots, x_4$ . Deoarece este indiferent care din celea  $C_8^4 = 70$  subsisteme de ecuații liniare va fi ales, pentru simplitatea calculelor selectăm primele  $k=4$  ecuații din setul de relații (2). Atunci vectorul original se va restabili prin atribuirea  $x_1=v_1, x_2=v_2, x_3=v_3$ , și  $x_4=v_4$ .

Deci, pentru codului matroid (8,4,2) se va aplica schema de decodare, prezentată în figura 2. Prin  $\mu^{-1}$  convențional este marcată operația de restabilire a mesajului original.

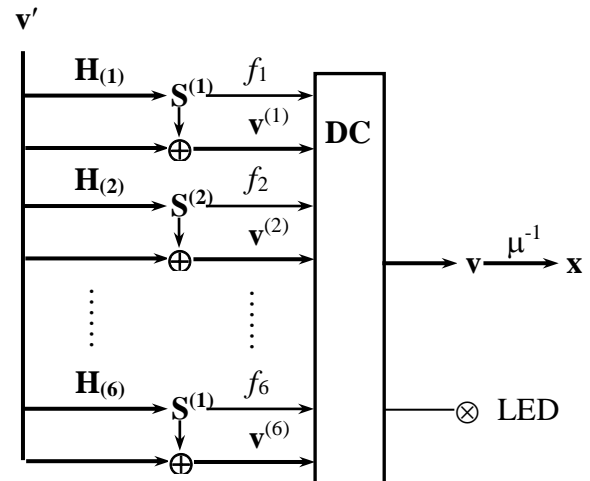


Fig. 2. Bloc-diagrama decodării M-codului (8,4,2)

Funcția  $f_i(S^{(i)})$  ia valoarea logică *True* (sau *False*) dacă este satisfăcută (sau Nu) Regula 1. Valorile  $f_i(S^{(i)})$  sunt intrările de control ale decoderului DC și comutează una din intrările  $v^{(i)}$  la ieșirea  $v$ ,  $i = \overline{1,6}$ . Precum se observă din diagrama figurii 2, la ieșirea  $v$  a decoderului DC pot fi comutate concomitent (până la) 3 intrări. Aici nu apare nici o contradicție. Valorile (cuvintele de cod) de la intrările comutate sunt identice.

Dacă eroarea este inadmisibilă (necorectabilă), atunci toate funcțiile  $f_i(S^{(i)})$  iau valoarea *False*, ceea ce va rezulta starea "Z", starea flotantă (de înaltă impedanță) la ieșirea decoderului DC. Totodată, această stare va fi semnalizată de indicatorul LED. Trebuie de evidențiat că toate operațiile de decodare, prezentate în figura 2, se execută asincron. Timpii de executare a operațiilor vor depinde de timpii de propagare a semnalelor în proiectul implementat.

### 3. IMPLEMENTAREA

#### 3.1. Calculul matricelor de control

Pentru generarea matricelor de control  $\mathbf{H}^{(i)}$ , necesare pentru implementarea M-decodării, vom aplica relația (3). Pentru codul matroid (8, 4, 2) matricea  $\mathbf{G}$  este de dimensiunea  $k \times n = 4 \times 8$ , iar matricea de control  $\mathbf{H}$  este de dimensiunea  $(n - k) \times n = 4 \times 8$ . Vom prezenta prin exemplu modul de calcul al unei matrice de control.

Fie matricea de control  $\mathbf{H}_{(1)}$  cu structura (5); avem:  $\mathbf{G} \cdot \mathbf{H}_{(1)}^T = 0$ , de unde rezultă 4 sisteme de ecuații liniare:

$$\begin{cases} q_{11} + 2q_{21} + 4q_{31} + 8q_{41} = 1, \\ q_{11} + 4q_{21} + 3q_{31} + 12q_{41} = 0, \\ q_{11} + 8q_{21} + 12q_{31} + 10q_{41} = 0, \\ q_{11} + 3q_{21} + 5q_{31} + 15q_{41} = 0. \end{cases}$$

$$\begin{cases} q_{12} + 2q_{22} + 4q_{32} + 8q_{42} = 0, \\ q_{12} + 4q_{22} + 3q_{32} + 12q_{42} = 1, \\ q_{12} + 8q_{22} + 12q_{32} + 10q_{42} = 0, \\ q_{12} + 3q_{22} + 5q_{32} + 15q_{42} = 0. \end{cases}$$

$$\begin{cases} q_{13} + 2q_{23} + 4q_{33} + 8q_{43} = 0, \\ q_{13} + 4q_{23} + 3q_{33} + 12q_{43} = 0, \\ q_{13} + 8q_{23} + 12q_{33} + 10q_{43} = 1, \\ q_{13} + 3q_{23} + 5q_{33} + 15q_{43} = 0. \end{cases}$$

$$\begin{cases} q_{14} + 2q_{24} + 4q_{34} + 8q_{44} = 0, \\ q_{14} + 4q_{24} + 3q_{34} + 12q_{44} = 0, \\ q_{14} + 8q_{24} + 12q_{34} + 10q_{44} = 0, \\ q_{14} + 3q_{24} + 5q_{34} + 15q_{44} = 1. \end{cases}$$

care se rezolvă, de exemplu, prin metoda Gauss. Luând în considerație că operațiile aditive și multiplicative se efectuează **modulo**  $x^4 + x + 1$ , în rezultat se obține următoarea matrice de control:

$$\mathbf{H}_{(1)} = \begin{bmatrix} 1 & 0 & 0 & 0 & 7 & 2 & 13 & 2 \\ 0 & 1 & 0 & 0 & 4 & 6 & 5 & 10 \\ 0 & 0 & 1 & 0 & 1 & 10 & 2 & 5 \\ 0 & 0 & 0 & 1 & 3 & 14 & 10 & 13 \end{bmatrix}$$

În același mod vor fi calculate și matricele de control  $\mathbf{H}_{(2)}, \dots, \mathbf{H}_{(6)}$ .

#### 3.2. Multiplicatorul vector la matrice

Multiplicatorul vector la matrice (sau VM-multiplicatorul) este un dispozitiv de înmulțire modulară a unui vector la matrice. Coderul codului matroid este în esență un VM-multiplicator, iar M-

decoderul conține un set prestabilit de VM-multiplicatoare.

Proiectul VM-multiplicatorului la nivel comportamental (*behavioral*) este definit de relația (1). Conform (1) alcătuim modelul de structură a VM-multiplicatorului. Modelul de structură va fi descris în limbajul VHDL.

La nivelul cel mai înalt al ierarhiei se va situa modulul, în care vor fi declarați parametrii (*genericul*) și porturile de intrare-ieșire ale entității. În genericul entității, evident, va fi specificată matricea generatoare (sau de control) **Matr** cu parametrii specifici: numărul de linii **Rows** și de coloane **Columns**, binaritatea simbolurilor **SymSize**, iar intrarea și ieșirea vor fi respectiv vectorul, rezultat de la înmulțirea vectorului de intrare la matricea **Matr**. Pentru VM-multiplicatorul coderului vectorul de intrare este secvența de simboluri originale (informaționale) numită **Word**, iar vectorul de ieșire este cuvântul de cod **CodeWord**. Parametrii **Rows** și **Columns** definesc lungimile acestor vectori.

Deci, VHDL-interfața modulului principal se declară în modul următor:

```
ENTITY MultMatrix IS
  GENERIC
    ( Matr: TMatrix := (others => 0);
      Rows: natural := 2;
      Columns: natural := 4;
      SymSize: natural := 2
    );
  PORT
    (Word: IN bit_vector(0 to Rows*SymSize-1);
     CodeWord: OUT bit_vector(0 to Columns*
                               SymSize-1)
    );
END MultMatrix;
```

Parametrul **Matr** din generic este un tablou (*array*) unidimensional de tipul:

```
type Tmatrix is array (0 to MatrixSize - 1) of States,
```

unde **MatrixSize** este dimensiunea în bituri a matricei, iar tipul de date **States** este tipizat în modul următor:

```
type States is range 0 to 2**Degree - 1,
```

unde **Degree** = **deg**  $p(x)$ . Tipul **States** definește mulțimea elementelor în forma zecimală ale câmpului Galois.

În entitatea secundară (*architecture*) a modulului principal va fi descris algoritmul de generare a structurii multiplicatorului vector la matrice. Arhitectura entității **MultMatrix**, interfața căreia a fost declarată anterior, este următoarea:

```

ARCHITECTURE aMultMatrix OF MultMatrix IS
SIGNAL T: bit_vector( 0 TO
    Rows* SymSize *Columns *SymSize- 1);
SIGNAL V: bit_vector( 0 TO
    Rows*SymSize*Columns*SymSize- 1);
BEGIN
    Column: for j in 0 to Columns-1 generate
        Row: for i in 0 to Rows-1 generate
            s1: MultByConst
            generic map( Matr( Rows*j+ i))
            port map(
                Word(SymSize* i to SymSize*( i+1)- 1),
                T( Rows* SymSize*j+SymSize* i to
                    Rows* SymSize* j+(SymSize*(i+1)-1)));
            first: if i= 0 generate
                V( Rows* SymSize*j+SymSize*i to
                    Rows* SymSize*j+(SymSize*(i+1)-1)<=
                        T( Rows* SymSize*j+SymSize* i
                            to Rows*SymSize*j+(SymSize*(i+1)-1)));
            end generate; -- if first
            rest: if i>0 generate
                s2: Xoring
            port map(
                dataA=> V(Rows*SymSize*j+SymSize*( i-1)
                    to Rows* SymSize*j+ SymSize*i-1),
                dataB=> T( Rows* SymSize*j+ SymSize* i
                    to Rows* SymSize*j+ SymSize*(i+1)-1),
                result=> V( Rows* SymSize*j+ SymSize* i
                    to Rows* SymSize*j+ SymSize*(i+1)-1));
            end generate; -- if rest
            end generate; -- for i
        s3:
        CodeWord( SymSize*j to SymSize*(j+1)-1)<=
            V(Rows*SymSize*(j+1)-SymSize to
                Rows*SymSize*(j+1)-1);
    end generate; -- for j
END aMultMatrix;

```

În arhitectura **aMultMatrix** a entității **MultMatrix** recurent sunt generate componentele VM-multiplicatorului M-codecului analizat. Pentru aceasta suplimentar în antetul declarației tipurilor de date sunt introduse două variabile de tip **SIGNAL**, care specifică conexiunile dintre componentele VM-multiplicatorului.

Generarea structurii se face cu ajutorul instrucțiunilor generatoare **for generate** și **if generate**.

Circuitul generat de modulul **MultMatr** are o structură omogenă regulată (fig. 3), de tip “systolic array” [5]. Nodurile diagramei din figura 3 reprezintă multiplicatoarele la constantă, unde constantele sunt coeficienții matricei **Matr**. Multiplicatoarele la constantă asupra  $GF(2^m)$  sunt generate de componenta **MultByConst** conform metodei descrisă în [6].

Arhitectura VM- multiplicatorului elaborată este compactă și universală.

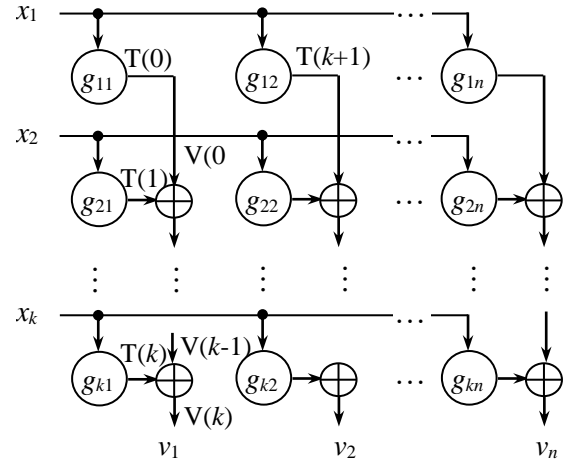


Fig. 3. Bloc-diagrama multiplicatorului vector la matricea de dimensiunea  $4 \times 8$

### 3.3. Codecul

În majoritatea sistemelor de comunicație se utilizează regimul duplex, când într-un canal datele se transmit în ambele direcții. De aceea, pentru implementarea proiectului codecului codului matroid (în continuare M-codec) se va utiliza schema prezentată în figura 4.

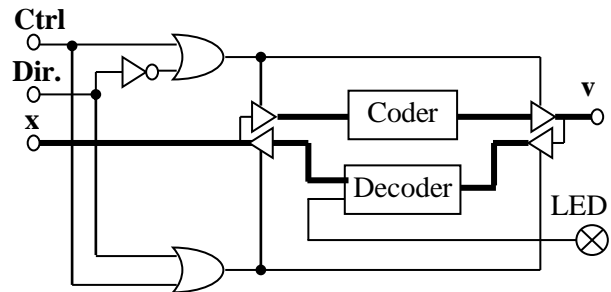


Fig. 4. Bloc-diagrama M-codecului cu magistrală multiplexată

CAD-sistemul de lucru este Quartus 6.0 (firma Altera). Cu ajutorul **Graphic Design Editor** culegem schema prezentată în figura 4. Intrarea **Ctrl** activează dispozitivul, iar intrarea **Dir** specifică direcția de transmitere a datelor.

Proiectul coderului codului matroid este implementat conform bloc-diagramei, prezentată în figura 3. Proiectul schemotehnic al decoderului este mai complex și trebuie să realizeze bloc-diagrama prezentată în figura 2. Însă, datorită faptului că implementarea a fost realizată în limbajul VHDL, procesul de proiectare a durat timp de câteva zile. În rezultat descrierea integrală a decoderului conține 5 entități cu volumul total de instrucțiuni aproximativ 160.

Pentru implementarea M-codului (8,4,2) a fost selectat circuitul programabil EPM570T100C3 din familia MAX II. Parametrii implementării sunt:

Total logic elements: 452/ 570 (79%)  
 Total pins: 51/ 76 (67%)  
 Longest tpd : 16,918 ns.

Reieșind din timpul maximal de reținere (parametrul Longest tpd), rezultă că frecvența de funcționare a codului proiectat se preconizează a fi de  $\approx 59$  MHz.

Proiectul codului matroid (8,4,2) asupra  $GF(2^4)$  a fost verificat cu ajutorul **WaveformEditor**. În cadrul verificării au fost simulate cât erori admisibile atât și celea necorectabile, adică cu  $t > 2$ .

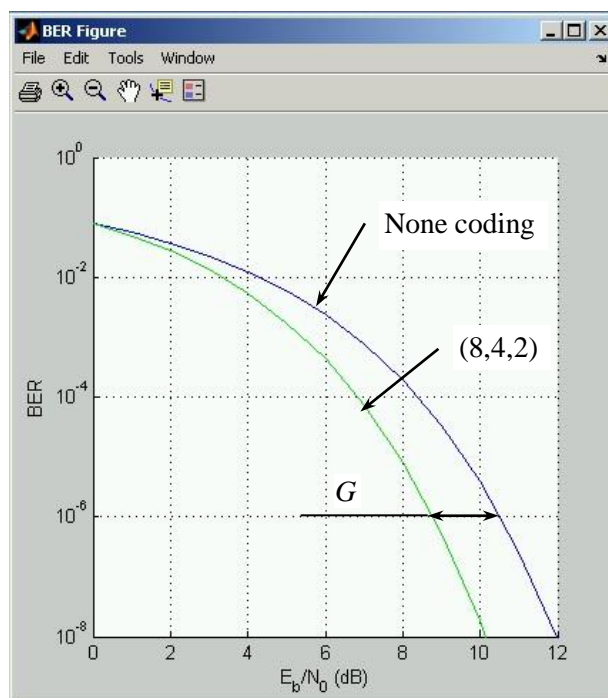
#### 4. CÂȘTIGUL DE LA M-CODARE

Codecul codului matroid proiectat este destinat să funcționeze într-un sistem de telecomunicații. Conform structurii clasice a sistemului de comunicație [4], secvențele generate de codec sunt transmise via modulator în canalul de comunicație. Cât modulatorul (demodulatorul), atât și canalul de comunicație pot avea diferite caracteristici. De regulă, când tipul canalului nu-i cunoscut apriori, se alege modelul AWGN (*Additive White Gaussian Noise*). Tipul modulării trebuie, cel puțin, să coreleze cu modul de codare a datelor.

Câștigul energetic de la codare  $G$ , conform definiției, determină câștigul în stabilitatea la perturbații când se aplică codurile corectoare de erori într-un sistem de telecomunicație. Câștigul se estimează pentru o valoare fixată a probabilității de decodare. Pentru a obține nivelul indicat al probabilității de recepționare eronată a unui simbol  $P_b$  în secvența transmisă, la ieșirea demodulatorului receptorului trebuie de asigurat un nivel minimal acceptabil al ratei semnal/ zgomot  $E_b/N_0$  (*ratio of bit energy to noise power spectral density*). Diferența dintre ratele  $E_b/N_0$  cu și fără utilizarea codului corector determină valoarea câștigului energetic  $G$  exprimat în decibeli (dB). Estimarea câștigului  $G$ , de regulă, se face în raport cu rata biturilor (simbolurilor) eronate.

Pentru determinarea dependenței dintre caracteristica canalului: rata eronării per bit (**BER**) și parametrul principal al tractului de transmisie, și anume,  $E_b/N_0$ , vom utiliza instrumentarul **Bit Error Rate Analysis Tool** (*MatLAB, Release 14*). Graficele dependenței  $P_b$  de  $E_b/N_0$ , generate de aplicația **BERTool**, sunt prezentate în figura 5.

Pentru un canal cu rata eronării **BER** =  $10^{-6}$ , caracteristică pentru canalele de comunicație



**Fig. 5.** Graficele dependenței probabilității eronării **BER** versus  $E_b/N_0$  cu modularea 2PSK asupra canalului AWGN fără codificare (None coding) și cu M-codarea (8,4,2)

contemporane, câștigul energetic  $G$  de la M-codare constituie  $G \approx 2$  dB. Câștigul de la codare duce la micșorarea puterii emițătorului, dimensiunilor antenei sau la mărirea vitezei de transmisie și constituie circa 1..10 mln dolari per 1 dB [7].

#### Bibliografie

1. **Bodean G.** Aspecte teoretice ale codurilor matroide. *Meridian Ingineresc* Nr.2, Chișinău, pag.35..42, 2005.
2. **Welsh D.** *Matroid Theory*. London: Academic Press, 1976.
3. **Bodean G., Bodean D., Sorokin G.** Instrumentarul de cercetare a codurilor matroide // Conferința internațională BIT+ "Tehnologii Informaționale", Chișinău, pag. 100, 2006.
4. **Spataru A.** *Teoria transmisiunii informației. Coduri și decizii statistice*. Buc.: Ed. Tehnica, 1971.
5. **Ullman J.** *Computational aspects of VLSI*. - New York, NY: Computer Science Press, 1984.
6. **Bodean G.** Generarea multiplicatoarelor asupra câmpurilor Galois. – *Meridian Ingineresc*, Nr. 3, pp.14 ..21, 2006.
7. **Zolotarev V., Ovechkin G.** *Effektivnyye algoritmy pomexoustojchivogo kodirovaniya dlya cifrovyyx system svyazi* // *Elektrosvyaz*, Nr. 3, 2003.